

NF₂H

NHF₂, ND₂F₂³ (v; T[°] mol., Cp, G[°], S[°]) 1963
H_T[°]-H_S[°]

Jreemugam K., Radhakrishnan M.,

2. Physik. Chem. (Frankfurt), 1963,
39 (3/4), 262-4.

Thermodynamic properties of difluoroamine.

13 CA, 1964, 60, 56, 6273h
op

NF₂H

B9P-5091-111

1963

Infrared spectrum of difluoroamine. J. J. Comeford, D. E. Mann, L. J. Schoen, and David R. Lide, Jr. (Nat'l. Bur. of Stds., Washington, D.C.). *J. Chem. Phys.* 38, 461-3(1963). The infrared spectrum of gaseous NF₂H was investigated, 250-4000 cm.⁻¹. Four bands of NF₂D were also observed. The fundamental frequencies (in cm.⁻¹) and their species are: NF₂H: $\nu_1(a')$: 3193; $\nu_2(a')$: 1307; $\nu_3(a')$: 972; $\nu_4(a')$: 500; $\nu_5(a'')$: 1424; $\nu_6(a'')$: 888. NF₂D: $\nu_1(a')$: [2333]; $\nu_2(a')$: 1008; $\nu_3(a')$: 972; $\nu_4(a')$: [500]; $\nu_5(a'')$: 1042; $\nu_6(a'')$: 888. The bracketed values were not observed directly. The fine structure resolved in several of the bands led to a value for $A - [(B + C)/2]$ in agreement with the microwave result. No inversion splitting was detected.

CA

C.A. 1963-58-8

7521d

NF₂H

И. К. Чистов

БР-III-13240

16 Б144. Инфракрасный спектр дифторамина. Сотерфорд J. J., Мапп D. E., Schoen L. J., Лайдер Дэвид Р., Jr. Infrared spectrum of difluogamine. «J. Chem. Phys.», 1963, 38, № 2, 451—463 (англ.).

Исследовался ИК-спектр поглощения газообразного NF_2H (I) в области 250—4000 см^{-1} . Кроме того, наблюдалось 4 ИК-полосы поглощения NF_2D (II). Для I: $\nu_1(a')$ 3193, $\nu_2(a')$ 1307, $\nu_3(a')$ 972, $\nu_4(a')$ 500, $\nu_5(a'')$ 1424, $\nu_6(a'')$ 888 см^{-1} . Для II: $\nu_1(a')$ 2333, $\nu_2(a')$ 1008, $\nu_3(a')$ 972, $\nu_4(a')$ [500], $\nu_5(a'')$ 1042 и $\nu_6(a'')$ 888 см^{-1} . (Квадратные скобки относятся к непосредственно не наблюдавшимся частотам II). Контуры интенсивных полос принадлежат типу A или B. Для спектра I характерна аномально низкая интенсивность и сдвиг в область меньших частот полосы 3193 см^{-1} , соответствующей вал. кол. NH. Из анализа тонкой вращательной структуры, наблюдавшейся для ряда полос, определена величина $A - 1/2 (B + C) \approx 1,439 \text{ см}^{-1}$, хорошо согласующаяся с величиной, определенной из микроволновых данных.

Резюме авторов

Б90 - 5091-111

1963

Х. 1964. 16

NF₂H

ИК спектр

ВФ - 5091-III

1963

10 Д174. ИК-спектр дифторамина. Comeford J. J.,
Mann D. E., Schoen L. J., Lide David R., Jr
Infrared spectrum of difluoramine. «J. Chem. Phys.»
1963, 38, № 2; 461—463 (англ.)

Получены ИК-спектры газообразного NF₂H в области 250—4000 см⁻¹ и спектры четырех полос NF₂D. Приведены фундаментальные частоты и их отождествление. Из анализа тонкой структуры некоторых полос определено значение $A - \frac{1}{2}(B+C)$, согласующееся с результатами измерений в микроволн. области. Инверсионное расщепление не обнаружено.

10/2/63

ВФ-III

ВФ-III

ф. 1963. 109

HNF_2

Hersh Ora L.

1963

структура Dissert. Abstres, 24, № 6, 2286.

111)

Дифракция электронов в разах и структура молекул
 PF_3 , PF_5 , HNF_2 и N_2F_4 .

(см. PF_3)

III

Bsp - 5635 - 11

Ф. 1965. 18

1983

374

24 Б219. Микроволновый спектр и структура дифторамина. Lide David R., Jr. Microwave spectrum and structure of difluoramine. «J. Chem. Phys.», 1963, 38, № 2, 456—460 (англ.)

Исследован микроволновый спектр NF_2H и NF_2D . Величины вращательных констант равны 53017,12, 10895,43, 9307,22 МГц для NF_2H и 44884,92, 10749,38, 9126,26 МГц для NF_2D . По этим данным определена структура молекул: $r_{\text{NF}} = 1,400 \pm 0,002 \text{ \AA}$, $r_{\text{N}} = 1,026 \pm 0,002 \text{ \AA}$, $\angle \text{FNF} = 102,9^\circ \pm 0,2^\circ$ и $\angle \text{HNF} = 99,8^\circ + 0,2^\circ$. Дипольный момент имеет величину $1,93 \pm 0,02 \text{ D}$ и образует угол 49° с направлением связи NH . Верхний предел инверсного расщепления в основном состоянии равен $0,2 \text{ МГц}$. Определен щелевой гензор градиента поля.

Резюме автора

Бер - 5092 - 10

X-1983-24

1963

374

NF₂H
NF₂D
Микроспектр

10 Д221. Микроволновый спектр и структура дифторамина. Lide David R., Jr. Microwave spectrum and structure of difluoramine. «J. Chem. Phys.», 1963, 38, № 2, 456—460 (англ.)

Исследованы и проанализированы микроволн. спектры NF_2H и NF_2D в области 15 000—36 000 Мгц. Определены вращательные константы для обеих молекул. Вычислены межъядерные расстояния, равные: $r_{\text{N}-\text{F}} = 1,400 \pm 0,002 \text{ \AA}$, $r_{\text{N}-\text{H}} = 1,026 \pm 0,002 \text{ \AA}$ и углы между залентными связями: $\angle \text{FNF} = 102,9^\circ \pm 0,2^\circ$, $\angle \text{HNF} = 99,8^\circ \pm 0,2^\circ$. Определены постоянные квадрупольной связи для обоих изотопич. образцов и получен полный тензор градиента поля. Вычислен дипольный момент молекулы, равный $1,93 \pm 0,02$ ед. Дебая, который составляет со связью NH угол 19° . Верхний предел инверсионного расщепления в основном состоянии оценивается в 0,2 Мгц. Библ. 19 назв. Г. Неуймин

БФ-5092-III

М.Н.
 структура

д. 1963 .10#

NF₂H 11-2376 Ommweek 374 | 1963

Microwave spectrum and structure of difluoroamine. David R. Lide, Jr. (Natl. Bur. of Stds., Washington, D.C.). *J. Chem. Phys.* 38, 456-60(1963). The microwave spectra of NF₂H and NF₂D were analyzed. Rotational consts. are 53,017.12, 10,-895.43, 9307.22 Mc. for NF₂H and 44,884.92, 10,749.38, 9126.26 Mc. for NF₂D. The structure obtained from these consts. is: $r_{NF} = 1.400 \pm 0.002$ A., $r_{NH} = 1.026 \pm 0.002$ A., $\angle FNF = 102.9 \pm 0.2^\circ$, and $\angle HNF = 99.8 \pm 0.2^\circ$. Quadrupole coupling consts. were measured for both isotopic species and the complete field-gradient tensor was detd. The dipole moment has a magnitude of 1.93 ± 0.02 D. and makes an angle of 19° with the NH bond. An upper limit of 0.2 Mc. is set on the inversion splitting in the ground state.

CA

Bcp 5052-111

C.A. 1963.58.5

4061 de

1963

NH₂F₂

(Англ.)

(8-90)

Лис

У 17 Б103. Потенциальные постоянные. Термодинамические функции дифторамина. Nagarajan G. Potential constants & thermodynamic functions of difluoramine. «Indian J. Pure and Appl. Phys.», 1963, 1, № 11, 403—404 (англ.)

Методом Вильсона (Wilson (Jr) D. R., «J. Chem. Phys.», 1939, 7, 1047; 1941, 9, 76) рассчитаны силовые постоянные дифторамина (I). На основе моделей жесткого ротора и гармонич. осциллятора рассчитаны также мол. термодинамич. функции (теплосодержание, теплосемкость, свободная энергия и энтропия) I и дейтеро-дифторамина для интервала т-р 200—2000° К. Табулированы полученные результаты. Библ. 9 назв. М. Митцез



☒

x. 1964. 17

V, carbonic β ($\text{NH}_2\text{D}, \text{ND}_2$,
water $\underline{\text{NF}_2\text{H}, \text{NF}_2\text{D}}$) XIII 1695

?
Current Sci. (India), 1965; 34, 115; 144-155
January

Mean amplitudes of vibration:
Pyramidal XY₂ type molecules.



P. Kow, 1967, 56222 10

NF₂H

III - 403ef

1965

Chem. Abstr.

Anharmonicity corrections and potential constants of di-fluoramine. M. G. K. Pillai and S. G. Gnanadesikan (Anna-malai Univ., Annamalainagar, India). Z. Physik. Chem. (Leipzig) 228(3/4), 157-8(1965)(Eng). The anharmonicity consts. were calcd. and the observed frequencies corrected for anharmonicity as suggested by Dennison (CA 34, 6524^s). The consts. for NF₂H and NF₂D are, resp.; ν_1 , 0.0188 and 0.0137; ν_5 , 0.0159 and 0.0116. Potential consts. for NF₂H and NF₂D (10^6 dynes/cm.) are given.

Victor R. Deitz

B97-1111
509

C.A. 1965-63-3
24018

III - 4034

1965

NF₂H

12 Д147. Поправки на ангармоничность и силовые
постоянные дифторамина. Pillai M. G., Gnappa-
desikan S. G. Anharmonicity corrections and potential
constants of difluoramine. «Z. phys. Chem.» (DDR),
1965, 228, № 3-4, 157—158 (англ.)

На основе ранее наблюденных частот и геометрич. па-
раметров NF₂H и его дейтерированного аналога
NF₂D найдены ангармонич. поправки по методу Деи-
тисона. Наблюдаемые частоты поправлены на ангар-
моничность. Из этих частот с использованием метода
Вильсона найдены силовые постоянные. Вычислен-
ные из них частоты хорошо согласуются с гармоничес-
кими. Приведены таблицы наблюденных, исправленных
(гармонических) и вычисленных частот вместе с по-
правками на ангармоничность.

Е. И. Креденцер

о. 1968

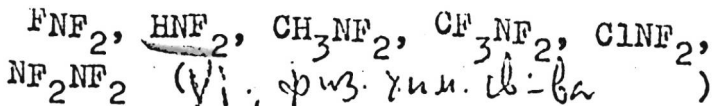
129

509

З. О. - Х. III

M 1680

1965



Ward G.A., Craig A.D., Wright C.M.,
Chien J.C.W.

Am. Chem. Soc., Div. Fuel. Chem. Preprints,
1965, 9(1), 172-82

The chemistry of difluoramines

F

J, Be

CA., 1966, 65, N12,
18147f

NF_2 №

1966

2 Д98. Расчет колебательного спектра дифторамина и хлордифторамина. Москвитина Е. Н., Кузяков Ю. А. «Вестн. Моск. ун-та. Химия», 1966, № 3, 35—39

Методом Ельяшевича и Степанова на электронно-счетной машине «Стрела» проведен расчет силового поля дифторамина и хлордифторамина. Молекулы дифторамина и хлордифторамина имеют плоскость симметрии, проходящую по связям N—H и N—Cl, и относятся к точечной группе симметрии C_s . Результаты расчета показывают, что колебания NF_2 и NE_2Cl , соответствующие т. наз. симметричным и антисимметричным валентным колебаниям N—F, не являются вполне характеристичными по форме для связей N—F, т. к. в них принимают большое участие другие связи и углы, но колебания всей группы NF_2 весьма характерны для обоих исследованных соединений.

ф. 1967. 28



NHF_2

стабильные
изог.

Гос. изог.
энергии

B91-32α-IV

1966

12 Д116. Силовое поле дифторамина. Sundaram S., Sargam Y. Anantagama, Piotrowski E. A. A force field for difluoramine. «Molec. Phys.», 1966, 10, № 5, 465—468 (англ.)

Из данных ИК-спектров газообразного дифторамина (NHF_2) и егодейтерозамещенного (ND_2F) получен набор постоянных потенц. энергии. Результаты обсуждаются и сравниваются с соответствующими данными для молекул NH_3 и NF_3 . Постоянные связей N—H и N—F оказались соответственно равными 5,6474 и 4,0681 мдн \AA^{-1} . Эти значения несколько меньше, чем для NH_3 и NF_3 , и согласуются, по мнению авторов, с несколько большими длинами связей N—H и N—F в дифторамине.

И. Яковлев

XIII - 18324

окт. 1966. 128

NHF_2

Bp - 32a - V

1966

NDF_2

A force field for difluoramine. S. Sundaram, V. Anantarama
Sarma, and E. A. Piotrowski (Univ. of Illinois, Chicago). *Mol.*
Phys. 10(5), 465-8(1966)(Eng). From the ir spectral data for
gaseous NHF_2 and NDF_2 , sets of quadratic valence potential
energy consts. were obtained. The consts. for the N-H and
N-F stretchings were, resp., 5.6474 and 4.0681 millidynes/A.
E. Grunhut

cumoboe
none

C.A. 1966-65-6

8196d

HNF_2

v_i

(спектр в
матрице)

Уасок М.Е.,
Миллиган Д.Е.

J. chem. phys.,
46, N1, 184

1967
177

Образование и р-лучи ат-
мального димера в ведущем
вещ. Колебательные и
поляризационные спектры
свободного радикала HNF .

(ис. HNF) III

NHF₂

XIII 1836-BD

1967

85126b Centrifugal distortion constants for difluoramine. S. Sundaram (Univ. of Illinois, Chicago). *Proc. Phys. Soc.* 92(1), 261-3(1967)(Eng). The inertia tensor derivs. for a center-of-mass principal axes system was obtained for an XYZ₂ type mol. of symmetry C_s. From the force field for difluoramine, the centrifugal distortion consts. D_J, D_{JK}, D_K, R_s, R_b, and δ_J were calculated for NHF₂ and NDF₂ using a 1st-order perturbation theory. Except for R_b, the other consts. have values comparable with D_{JK}, and thus a correction to the rigid-rotor energy levels should include all these terms.

RCPN

C.A. 1967-07-18

NHF₂

XIII - 1836 - ВР

1967

10 Б244. Постоянные центробежного растяжения дифторамина. Sundaram S. Centrifugal distortion constants for difluoramine. «Proc. Phys. Soc.», 1967, 92, № 1, 261—263 (англ.)

Методом Кивельсона и Вильсона выведены явные выражения элементов матрицы первых производных компонентов тензора инерции по координатам симметрии молекул типа XYZ₂ (симметрия C_s) через массы атомов и геометрич. параметры молекулы. Вычислены постоянные центробежного растяжения D_J, D_{JK}, D_K, R₅, R₆ и S_J молекул NHF₂ и NDF₂. При расчете использованы силовые коэф., найденные автором ранее. Вычисленные значения D_{JK} — 0,6595 (NHF₂) и — 0,4625 Мгц (NDF₂)

Х-1968.10

18

сопоставлены со значениями $D_{JK} = -0,16$ и $-0,095$ Гц, использованными при анализе вращательных спектров. Значения центробежных постоянных этих молекул, за исключением R_6 , имеют одинаковый порядок величины, поэтому при анализе спектров следует учесть все центробежные поправки в выражении вращательной энергии.

М. Р. Алиев

NHF₂

XIT - 1836-890

1967

4 Д118. Постоянные центробежного растяжения для дифторамина. Sundaram S. Centrifugal distortion constants for difluoramine. «Proc. Phys. Soc.», 1967, 92, № 1, 261—263 (англ.)

Получены производные тензора инерции в системе главных осей относительно центра масс для молекул типа XYZ_2 симметрии C_s . На основе силового поля дифторамина вычислены постоянные центробежного растяжения D_j , D_{jh} , D_h , R_5 , R_6 и δ_j для молекул NHF_2 и NDF_2 . При расчете использован первый порядок теории возмущения. Ранее была сделана попытка объяснить микроволни. спектр дифторамина на основе модели жесткого ротора. К вращательной энергии был добавлен поправ-

09.1968. 4

18

вочный член вида $D_{jh}K_1^{-2}J(J+1)$. Такая поправка оказалась удовлетворительной для $\Delta J=0$, а для переходов с $\Delta J=1$ и $J>5$ наблюдалось некоторое расхождение между наблюдаемыми и рассчитанными частотами. Настоящий расчет показал, что, за исключением R_6 , найденные постоянные центробежного растяжения сравнимы с величиной D_{jh} . Следовательно, поправка к уровням энергии жесткого ротора в данном случае должна включать все шесть членов, в которые входят постоянные центробежного растяжения.

И. П. Яковлев

NF₂H

Gordon M.S.
et al

1968

present
published.
acc. with.

J. Chem. Phys.

1968, 49, N10, 4643-50.

(Cu Cl₂, II)

MNF₂

(4)

XII - 1446

1968

52641z The ir spectroscopic study of fluorimide and some of its complexes. Yakutin, V. I.; Dubov, S. S.; Fokin, A. V. Kosyrev, Yu. M.; Novoselov, N. P. (USSR). Zh. Obshch. Khim. 1968, 38(10), 2174-7 (Russ). The valence and bending frequencies of the NH bond and the valence frequencies of the NF bond of HNF₂ were measured in liq. mixts. with (CD₃)₂SO, CD₃OH, (CD₃)₂CO, (CF₃)₂CO, Xe. The shifts of the frequencies with respect to the gaseous state show that HNF₂ forms H bonds with strengths in the order (CD₃)₂SO > (CD₃)₂CO ~ CD₃OH > (CF₃)₂CO ~ HNF₂. There is no ionization of HNF₂ in these complexes and both N and F atoms take part in the formation of intermol. H bonds in solid HNF₂.

D. Papousek

C.A. 1969. 40. 12

CUN. NOCI (NH_3 , PH_3 , AsH_3 , SbH_3 ; ND_3 , 1969
 PD_3 , AsD_3 , SbD_3 , NHF_2 , NDF_2 , 13
 NF_3 , PF_3 , AsF_3 , SbF_3 ; NCl_3 , PCl_3 , $AsCl_3$, $SbCl_3$,
 NBr_3 , $PBrs_3$, $AsBr_3$, $SbBr_3$, NY_3 ; PT_3 , AsT_3 , SbT_3)
King-Shin-Tung, Overend J. XIII 330

J. Phys. Chem., 1969, 73, n.2, 406-412 (a.m.)

The importance of lone-pair electrons
in the intramolecular potential func-
tion of group F hydrides and trihalides.

Published 1989, 24553-10 10

HNFG 1970
Woodman C.N.

usen.
potones 33, n^o 2, 311.
J. Mol. Spectrosc., 1970,

● (Cer HNF) III

2) (NF_3 , NF_2Cl , NF_2H , NF_2D , ¹⁸⁵⁴ 856
 N_2F_4 , CH_3NF_2) 13 14 XIII ~~155~~

Москвичица З.Н., Кузяков И.Д.,
Вад., Кодебажев. спектр в ширин.

"Химия", 11, наука", 1971, 101-115

Спектроскопическое изучение димеров
азота.

Рязань, 1971, 35197

4 10 ④

1974

NHF₂

Бюллетен по научно-исслед.

работе ИВГАИ выпуск N8

«Периодичность смены об. ви

и. н.

ауто, пригород и не соедин
ные.

1974

HNF₂

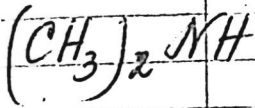
Uenyd6.
photo.muz

148393u Decomposition of fluorimide studied by flash photolysis. Zamanskii, V. M.; Moskvitina, E. N.; Kuzyakov, Yu. Ya. (USSR). *Vestn. Mosk. Univ., Khim.* 1974, 15(5), 544-6 (Russ). Besides the fundamental photochemical reaction $\text{HNF}_2 + h\nu \rightarrow \text{HNF} + \text{F}$, the following are reported: a 2nd photochemical reaction $\text{HNF} + h\nu \rightarrow \text{NH} + \text{F}$ followed by $\text{F} + \text{HNF}_2 \rightarrow \text{HF} + \text{NF}_2$; 2 thermal processes $\text{HNF}_2 \rightarrow \text{NF} + \text{HF}$ and $\text{NF} + \text{NF} \rightarrow \text{N}_2 + 2\text{F}$. In the presence of H the following processes are possible: $\text{F} + \text{H}_2 \rightarrow \text{HF} + \text{H}$ and $\text{H} + \text{HNF}_2 \rightarrow \text{HNF} + \text{HF}$.

A. Plonka

C.A.1975.82 N22

F_2NH



У 4-13548

1976

21 Б65. Неэмпирические расчеты структуры и инверсии дифторамина и диметиламина. Skaagup Steen, Griffin Lawrence L., Boggs James E. Ab initio calculation of structure and inversion di disfluoramine and dimethylamine. «J. Amer. Chem. Soc.», 1976, 98, № 11, 3140—3143 (англ.)

Методом ССП МО ЛКАО в базисе безузловых гауссовских функций (ГФ) проведены неэмпирич. расчеты равновесной геометрии и барьеров инверсии F_2NH (I) и $(CH_3)_2NH$ (II). Для C, N и F использован (7, 3)-базис, сгруппированный в (5, 3) как (3, 1, 1, 1, 1; 3). Для исследования влияния внешних d -АО в расчет I были включены d -АО атома N. 1s-АО атомов H аппроксимировались тремя несгруппированными ГФ s-типа.

ИМС

X 1976 N 21

+1

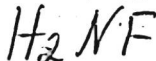
XX

Канонич. МО были преобразованы по методу Бойса в локализованные МО (ЛМО), соотв.-щие хим. связям, внутренним оболочкам и неподеленным парам. Для исследованных молекул получены следующие оптимизированные геометрич. параметры: I—*sp* (*spd*) базис — $r_{\text{NH}_3} = 1,011$ (1,007) Å, $r_{\text{NF}} = 1,428$ (1,389) Å, $\langle \text{FNF} = 102,8(103,0)^\circ$, $\langle \text{HNF} = 101,4(100,6)^\circ$; II (*sp*-базис) — $r_{\text{NH}_3} = 0,999$ Å, $r_{\text{NC}} = 1,461$ Å, $r_{\text{CN}} = 1,083$ Å, $\langle \text{H}_3\text{NC} = 112,3^\circ$, $\langle \text{CHC} = 115,1^\circ$, главная структурная особенность II — асимметричность CH_3 -групп также достаточно удовлетворительно воспроизводится расчетом. В частности, из расчетов следует, что наиболее удли-ненной связью CH_3 -группы должна быть СН-связь, направленная в противоположную сторону относительно ЛМО неподеленной пары вследствии дефицита элек-тронной плотности по этому направлению. Расчетные величины барьеров инверсии составляют в *sp*-базисе (*spd*-базисе) 34,4(41,7) ккал/моль для I и 2,6 ккал/моль (опыт. 4,4) для II.

И. Абронин

отмечено 5461

1977



12 Д146. Неэмпирический хартри-фоковский расчет силовых постоянных и геометрии молекул HNF_2 и H_2NF . Fogarasi Geza, Pulay Peter, Molt Karl, Sawodny Wolfgang. Ab initio Hartree-Fock calculation of the force constants and geometry of HNF_2 and H_2NF . «Mol. Phys.», 1977, 33, № 6, 1565—1570 (англ.)

Неэмпирическим методом ССП МО ЛКАО в базисе гауссовых ф-ций вычислены структурные параметры, дипольные моменты, гармонич. силовые постоянные и частоты колебаний молекул HNF_2 , H_2NF и их димеризомещенных. Значения силовых постоянных, полученные прямым расчетом описывают колебательный спектр HNF_2 недостаточно удовлетворительно, однако, небольшая вариация диагональных силовых постоянных исключает расхождение с экспериментом. Аналогичным образом изменены силовые постоянные и частоты молекулы H_2NF , которая еще не синтезирована.

М. Р. Алиев

(+1)

v_i

Ф. 1977, 12

HNF_2

H_2NF

сай. ИУСГ.
geo-серг!

(+)

21.1977

N24

отмечено 5461

1977

24 Б43. Неэмпирический расчет в рамках метода Хартри-Фока силовых постоянных и геометрии HNF_2 и H_2NF . Fogarasi Geza, Pulay Peter, Mott Kart, Sawodny Wolfgang. Ab initio Hartree-Fock calculation of the force constants and geometry of HNF_2 and H_2NF . «Mol. Phys.», 1977, 33, № 6, 1565-1570 (англ.)

Неэмпирическим методом ССП МО ЛКАО в базисе лепестковых (группированных гауссовских ф-ций с добавлением ф-ций на связях) проведены расчеты силовых постоянных H_2NF (I) и HNF_2 (II). Авторы полагают, что силовое поле II, полученное комбинацией теор. результатов с эксперим. частотами, можно считать наиболее надежным. Для крит. анализ пред. расчетов. Полная оптимизация геометрии I приводит к след. результатам: NF 1,399, NH 1,018 Å, углы HNF 102,9, NHH 105,9°. По резюме

NH₃F₂

[* 48-18930]

1947

Schmidkamp A. et al.

(unpubl.) "J. Chem. Phys." 1947, 6,
v. 12, 5469-5476 (anal.)

○ (act. NH₃; \bar{W})

NF₂H

OMMULOC 5792

1979

Мадлен
Dr

Shimamoto T.

J. Phys. Chem. and Ref. Data.

1972, 5, 903-1102.

NF₂H

Omnes 6146

1978

88: 143846h Centrifugal distortion analysis of difluoramine.
Kaushik, Vijay Kumar; Venkateswarlu, Putcha (Dep. Phys.,
Indian Inst. Technol., Kanpur, India). *J. Mol. Spectrosc.*
1978, 70(1), 1-8 (Eng). The microwave rotational spectrum of
NF₂H was analyzed in the frequency region 15-36 GHz involving
rotational levels up to $J = 19$. The anal. gives refined rotational
consts. and all quartic centrifugal distortion consts. These
consts. were used to predict addnl. Q-branch transitions of the
mol. in the frequency region 5-95 GHz.

M, n. 1
XIII

C.A. 1048, 88, N20

NF₂H

*М.Н.
ХХІІІ - ЧІІІ-ЗІІ*

БИБЛІОТЕКА 6146

1978

10 Д390. Анализ центробежного возмущения двуфторамина. Kaushik Vijay Kumar, Venkateswarlu Putchal. Centrifugal distortion analysis of difluoramine. «J. Mol. Spectrosc.», 1978, 70, № 1, 1—8 (англ.)

Проведен анализ микроволн. вращательного спектра молекулы NF₂H в диапазоне частот 19—36 Гц, включающего переходы на вращательные уровни до $J=19$. Используя теорию центробежного возмущения для вращательных спектров молекул типа асимметричного волчка, получены уточненные вращательные постоянные и все постоянные центробежного возмущения четвертого порядка. Соответствие между наблюдаемыми и вычисленными величинами $\pm 0,06$ Мгц. Полученные вращательные постоянные и постоянные центробежного возмущения использовались для вычисления дополнительных переходов Q-ветви спектра молекулы NF₂H (всего 22 перехода) в диапазоне 5—95 Гц. Библ. 27.

В. В. Строгонов

ср, 1978, № 10

от. 6146 10.7.8

19 Б285. Анализ центробежного искажения дифторамина. Kaushik Vijay Kumar, Venkateswari Putcha. Centrifugal distortion analysis of difluorogamine. «J. Mol. Spectrosc.», 1978, 70, № 1, 1—8 (англ.)

Данные Лайда (см. D. R. Lide, Jr., «J. Chem. Phys.», 1963, 38, 456) о МВ-спектре дифторамина, NF_2H (I), в области частот от 15 до 36 ГГц для вращательных переходов со значениями J вплоть до 19 проанализированы заново с учетом эффекта центробежного искажения. При анализе спектра I в приближении нежесткого почти вытянутого асимм. волчка использованы модельные представления Уотсона и Кирхгоффа. Вращательные постоянные и τ -постоянныи в представлении Уотсона равны (в МГц) $A = 53019,896$ (45), $B = -10895,809$ (9), $C = 9307,5468$ (79), $\tau_1 = 0,08409$ (401), $\tau_2 = 0,01749$ (66), $\tau_3 = 2,183$ (19), $\tau'_{aaaa} = -3,64289$ (885), $\tau'_{bbb} = -0,078816$ (401), $\tau'_{ccc} = -0,03351$ (25). С полученными значениями молек. постоянных достигнуто согласие расчетных частот линий с эксперим. данными в пределах $\pm 0,06$ МГц. Построена корреляц. матрица вращательных и τ -постоянных. Рассмотрены альтернатив-

4417.

1/220

1/111

2:1948, N19

ные способы определения постоянных. Полученные дан-
ные использованы для предсказания частот 22 переходов I в области от 5 до 95 Гц. С. Н. Мурзин



HNF₂

Om 36511

1980

19 Б135. Фотоэлектронный спектр дифторамина.
Colbourne D., Frost D. C., McDowell C. A.,
Westwood N. P. C. The vacuum ultraviolet photo-
electron spectrum of difluoramine. «Chem. Phys. Lett.»,
1980, 72, № 2, 247—251 (англ.)

*Фотодиод,
спектроф.*

С использованием источника возбуждения Не-I изме-
рены фотоэлектронные спектры (ФЭС) дифторамина
(HNF₂) и дейтерированного дифторамина (DNF₂).
В области энергий связи от 10 до 21 эВ обнаружено
7 пиков ФЭС. Интерпретация ФЭС проведена на ос-
новании расчета спектра MO HNF₂ полуэмпирич. ме-
тодом ВАМ/З. В расчете в области энергий эксперим.
ФЭС также найдено 7 MO. Первый пик в ФЭС HNF₂
и DNF₂ имеет ярко выраженную колебательную струк-
туру, на основании анализа к-рой сделан вывод о
плоской геометрии иона HNF₂. Методом ССП MO
ЛКАО с использованием базиса гауссовых орбиталей

X. 1980 N 19

ОСТ-З ГО проведена оптимизация геометрич. параметров молекулы HNF_2 и иона HNF_2^+ . Для основного состояния HNF_2 вычисленный барьер инверсии составил 1,38 эВ. Расчеты методом ССП МО ЛКАО показали, что геометрия HNF_2^+ в основном состоянии иона является плоской с параметрами $R(\text{N}-\text{F})=1,31 \text{ \AA}$, $R(\text{N}-\text{H})=1,15 \text{ \AA}$, $\text{FNF}=116,7^\circ$. На основании известных ФЭС молекул CH_2F_2 , HNF_2 , и OF_2 и данных теор. расчетов электронного строения этих молекул построены корреляц. диаграмма потенциалов ионизации в CH_2F_2 , HNF_2 и OF_2 .

И. А. Тополь

0° м

HNF₂

Оп 36511

1980

12 Д329. УФ-фотоэлектронный спектр дифторамина.
The vacuum ultraviolet photoelectron spectrum of difluoramine. Colbourne D., Frost D. C., McDowell C. A., Westwood N. P. C. «Chem. Phys. Lett.», 1980, 72, № 2, 247—251 (англ.)

Получен HeI-фотоэлектронный спектр дифторамина HNF₂ (I). Вертикальные потенциалы ионизации (ПИ) I равны (в эВ): 12,38; 15,4; 15,54; 15,98; 18,01; 19,0; 19,77. В первой фотоэлектронной полосе обнаружена колебательная структура с частотой $580 \pm 30 \text{ см}^{-1}$. Спектр I интерпретирован при помощи полуэмпирических расчетов (в приближении НАМ-3), сравнения с фотоэлектронными спектрами изоэлектронных молекул. Установлено, что первый ПИ I соответствует удалению электронов из MO_{8a'}, локализованной в основном на атоме N. Более высокие ПИ I отвечают более глубоким MO, локализованным на атомах фтора. На основе анализа полученных данных показано, что I в основном состоянии иона имеет плоскую форму. Библ. 34.

Ю. В. Чижов

*Фотоэкс.
спектр*

Ф. 1980, N 12

1980

OM. 36511

NHF₂

HNF₂

DNF₂

93: S4556s The vacuum ultraviolet photoelectron spectrum of difluoramine. Colbourne, D.; Frost, D. C.; McDowell, C. A.; Westwood, N. P. C. (Dep. Chem., Univ. British Columbia, Vancouver, BC Can. V6T 1Y6). *Chem. Phys. Lett.* 1980, 72(2), 247-51 (Eng). The He I photoelectron spectrum of HNF₂ is reported. The 7 ionization potentials within the He I region were assigned. Extensive vibrational structure on the 1st band of both NHF₂ and DNF₂, and ab initio calcns. of the ionic geometry, indicate that the ground ionic state is planar.

group II
series,
category

CA 1980 93 n8

HNF_2

XIV - 98'98

1980

расселл.
голосует
Фомоз,
Сидор.

(3)

ф. 1980 № 11

11 Д97. Расчеты вертикальных потенциалов ионизации дифторамина с помощью вычисления поправок теории возмущений к теореме Купманса. Calculation of vertical ionization potentials of difluoramine by perturbation corrections to Koopmans theorem. Minato-Tsutomu, Chong Delapo R. «Chem. Phys. Lett.», 1980, 72, № 2, 252—255 (англ.)

Для равновесной геометрии основного электронного состояния молекулы дифторамина (HNF_2) методом ССП в базисе 4—31 ГФ проведен расчет электронной структуры. Полученные МО использованы для вычисления вертикальных потенциалов ионизации HNF_2 в первом (теорема Купманса), втором и третьем порядках теории возмущений Релея—Шредингера, а также в геометрич. приближении. Проведенные расчеты показывают присутствие трех перекрывающихся полос в области спектра 15—16 эв, что согласуется с данными по фотоэлектронным спектрам дифторамина. Отмечено, что в приближении теоремы Купманса предсказать наличие этих трех полос не удается. Рассчитанный фотоэлектронный спектр HNF_2 сравнивается со спектрами изоэлектронных молекул OF_2 и CH_2F_2 . А. Дементьев.

XIII - 5626

1980

 HNF_2 XIV - 9898

93: S4557t Calculation of vertical ionization potentials of difluoramine by perturbation corrections to Koopmans' theorem. Minato, Tsutomu; Chong, Delano P. (Dep. Chem., Univ. British Columbia, Vancouver, BC Can. V6T 1Y6). *Chem. Phys. Lett.* 1980, 72(2), 252-5 (Eng). The vertical ionization potentials of HNF_2 were calcd. by perturbation corrections to Koopmans' theorem. The calcn. shows that HNF_2 has 3 overlapping bands between 15 and 16 eV. The calcd. results compare well with the exptl. values. The photoelectron spectrum of HNF_2 was compared with that of OF_2 and CH_2F_2 .

(3)
pushed
away

CA 1980 93 n8

5626
XIII -

HNF_2

XIL, 9898 XIII - 5626

1980

21 Б12. Расчет вертикальных потенциалов ионизации дифторамина с учетом пертурбационных поправок к теореме Купменса. Minato T., Chong D. P. Calculation of vertical ionization potentials of difluoramine by perturbation corrections to Koopmans' theorem. «Chem. Phys. Lett.», 1980, 72, № 2, 252—255 (англ.)

С учетом поправок к теореме Купменса, полученных по теории возмущений Рэлея—Шредингера, определены вертикальные потенциалы ионизации дифторамина, HNF_2 . Расчет методом МО ЛКАО ССП выполнен в ~~базисе~~ 4-ЗІГФ с эксперим. геометрическими параметрами, найденными из микроволновых спектров HNF_2 и DNF_2 . Отмечено, что, по-видимому, из-за ограниченности базиса однозначное отнесение наблюдаемых пиков в фотоэлектронном спектре [ФЭС] в области 15—16 эВ произвести не удалось. Путем сопоставления теоретич. и эксперим. данных ФЭС в молекулах OF_2 , CH_2F_2 и HNF_2 с достоверностью удалось установить, что перекрывающаяся область ~16 эВ соответствует ионизации электрона с трех МО, состав к-рых определяется неподеленными парами атомов фтора.

С. Долин

Х. 1980 № 21

HNF_2

Commerce 19174 | 1981.

Langhoff R., Chong D. I.

(y)

(rearranged)

Chem. Phys., 1981, 55 (3)

355 - 360

● $(\text{cm} \text{ } \text{DF}_2) \underline{\text{III}}$

HNF_2

Vannuck 13684] 1982

Langhoff S.R., Chong D.P.,

g, pacem

Chem. Phys. Lett., 1982,

86, N5-6.

HNF₂

1982

Langhoff S. R., et al.

J Chem. Phys. Lett., 1982,
86, N 5-6, 487.-490.

(see. OF₂; II^{I})

NHF_2

1983

Pacrem
g;

De Altı Giancarlo,
Decleva Piero, et al.

Chem. Phys., 1983, 76,
 N_2 , 185-193.

(Cer. Yuc- N_2H_2 ; ^1H)

$\text{HNF}_2(k)$

1987

Christe Karl O.

UK, J. Fluorine Chem. 1987,
CKP. 35 (4), 621-6.

($\text{crys. HOF}(s)$; iii)

F₂NH

1987

Christe K.O.,

cb-8a Report 1987, ARO - 20953.20-CH;
Order N = AD - A179863, 242pp.

From Gov. Rep. Announce
Index(U.S.) 1987, 87(16), Abstz. N =
734, 666.

C.A. 1988, 108, N8, 67815m

HNF₂
DNF₂

Он 26 120

1987

17 Б1213. Конденсированные фазы дифторамина и его аддуктов с фторидами щелочных металлов. Condensed phases of difluoramine and its alkali-metal fluoride adducts. Christe K. O., Wilson R. D. «Inorg. Chem.», 1987, 26, № 6, 920—925 (англ.)

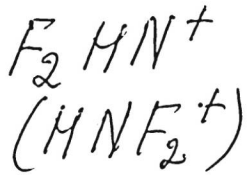
Изучены КР- (λ 647,1 нм) и ИК-спектры поглощения (200—4000 см⁻¹) HNF₂ (I) и DNF₂ (II) в газ., жидк. и тв. состоянии при различных т-рах, а также КР-спектры аддуктов I с KF, RbF, CsF и ИК-спектры аддукта I с RbF. Анализ спектров и характер изменения спектров при переходе I и II из газ. в конденс. состояние указывает на то, что в жидк. и тв. состоянии имеет место ассоциация I через Н-мостики между атомами N. Аддукты I и II образуются за счет мостиковых Н-связей [F...HNF₂]⁻, причем CsF и RbF образуют 2 типа Н-связей различной прочности. По-видимому, все аддукты имеют одинаковую структуру, однако для аддуктов CsF и RbF прочность Н-связей различается достаточно сильно. Показано, что в результате р-ции KF—HNF₂ с TeF₅OF, OF₂, FONO₂ и FOClO₃ происходит фторирование I до HF и N₂F₄. А. В. Бобров

КР и ИК-спектры

17

(4)

X:1987, 19, N17



10m. 30490 / 1988
of Jacob M.E.,

Ti; J. Phys. and Chem. Ref.
Di; Data, 1988, 17, N2,

383

HNF₂

1988

20 Б1222. Инфракрасные спектры HNF₂, NF₃, PF₃ и PCl₃ и комплексов с HF в твердом аргоне. Infrared spectra of HNF₂, NF₃, PF₃ and PCl₃ and complexes with HF in solid argon. Lascola R., Withnall R., Andrews L. «J. Phys. Chem.», 1988, 92, № 8, 2145—2149 (англ.)

Измерены ИК-спектры молекул HNF₂, NF₃, PF₃ и PCl₃, изолированных в матрицах из Ar, а также продуктов их соконденсации с молекулами HF и избытком Ar при 12 К. Выполнено отнесение полос исходных реагентов к нормальным колебаниям. Показано, что во всех случаях при соконденсации образуются комплексы с HF состава 1:1 или 1:2. Для комплексов состава 1:1 идентифицированы след. полосы (cm^{-1}): HNF₂—3681 (v_s) и 516/498 (v_e), NF₃—3919 (v_s) и 246 (v_e), PF₃—3890 (v_s) и 258 (v_e), PCl₃—3868 (v_s). Установлено, что фрагменты в комплексах связаны Н-связями между атомами H фрагмента HF и атомом N.

№(43)

X. 1988, 19, № 20

или Р основания. Предложены вероятные структуры димеров оснований. Установлена линейная корреляция между сродством к протону и сдвигом полосы ν_s фрагмента HF в ряду комплексов между HF и молекулами NH_3 , NH_2F , NHF_2 и NF_3 . Оценены величины сродства к протону для HNF_2 (163 ± 5 ккал/моль) и NH_2F (181 ± 5 ккал/моль). Обсуждается изменение основности в рядах галогензамещ. пр-ных амиака и фосфина.

С. Б. Осин

036

HNF₂

1988

11 Л204. ИК-спектры HNF₂, NF₃, PF₃ и PCl₃ и комплексов с HF в твердом аргоне. Infrared spectra of HNF₂, NF₃, PF₃, and PCl₃ and complexes with HF in solid argon. Lascola Robert, Withnall Robert, Andrews Lester. «J. Phys. Chem.», 1988, 92, № 8, 2145—2149 (англ.)

Получены ИК-спектры (4000—500 см⁻¹) молекул HNF₂, NF₃, PF₃ и PCl₃ и их комплексов с HF, изолированных в твердых аргоновых матрицах при т-ре 12 К. Проведено сопоставление колебательных спектров этих молекул и их димеров. Предположено, что димеры HNF₂ в матрице обладают асимметричной структурой. Отмечено, что комплексы с HF образованы посредством водородных связей с участием неподеленной пары электронов атомов N или P. Определены линейные корреляции между частотами колебаний и сродством к протону фторзамещенных аминов. Сделан вывод, что основность PF₃ выше основности молекул NF₃. Библ. 23.

И. В. А.

(f3) Δ

о. 1988, N 11

HNF₂

1988

(LK & Manjuje)

ABO
Ae

108: 176118g Infrared spectra of fluoroimide, nitrogen trifluoride, phosphorus trifluoride, and phosphorus trichloride and complexes with hydrogen fluoride in solid argon. Lascola, Robert; Withnall, Robert; Andrews, Lester (Dep. Chem., Univ. Virginia, Charlottesville, VA 22901 USA). *J. Phys. Chem.* 1988, 92(8), 2145-9 (Eng). IR spectra of HNF₂, NF₃, PF₃, and PCl₃ and their complexes with HF were obsd. in solid Arinatrixes. An asyin. structure was deduced for (HNF₂)₂ based on comparison with HNF₂ spectra. Complexation of these bases with HF produced the following bands: HNF₂, 3681 cm⁻¹ (ν_s) and 516 and 498 cm⁻¹ (ν_1); NF₃, 3913 cm⁻¹ (ν_s) and 246 cm⁻¹ (ν_1); PF₃, 3890 cm⁻¹ (ν_s) and 258 cm⁻¹ (ν_1); PCl₃, 3868 cm⁻¹ (ν_s). The spectra suggested the formation of a H bond between HF and the N or P lone pair for all 4 complexes. A direct correlation between H⁺ affinity and ν_s was found for F1-substituted amines, allowing prediction of the HNF₂ H⁺ affinity as 163 ± 5 kcal/mol and that of NH₂F as 181 ± 5 kcal/mol. Basicity trends in N and P compds. are discussed.

(15)

17

c.A. 1988, 108, n20



NF₃, PF₃, PCl₃, (HNF₂)₂
(LK & Manjuje)
NH₂F (Ae)

F_2NH

1988

Clack H. G.,
Christen D. et al.

microem.
paerem

J. Mol. Struct. 1988,
190, 215-26.

(cer. NH_3 ; $\underline{\underline{II}}$)



1989

10 Б4466. Прямое наблюдение $NF(X)$ методом лазеро-индукции флуоресценции. Определение отношения выходов различных каналов реакции $H + NF_2$. Direct observation of $NF(X)$ using laser-induced fluorescence: Determination of the $H + NF_2$ branching ratio / Heidner III R. F., Helvajian H., Holloway J. S., Koffend J. B. // J. Phys. Chem.—1989.—93, № 23.—C. 7818—7823.—Англ. Место хранения ГПНТБ СССР

спецкур

Измерено соотношение каналов р-ции $H + NF_2 \rightarrow NF(X^3\Sigma^-, a^1\Delta, b^1\Sigma) + HF(v \leq 4)$, протекающей при т-ре 298 К с полной константой скорости $1,3 \cdot 10^{-11} \text{ см}^3/(\text{молекула} \cdot \text{с})$. Атомы H генерировали путем Фт HBr излучением 193 нм эксимерного лазера на ArF. Образование $NF(a)$ наблюдали по эмиссии при 874 нм как при Фт NF_2 излучением 249 нм эксимерного лазера на KrF, так и в р-ции $H + NF_2$. Образование $NF(X)$ регистрировали методом лазеро-индук-

Х. 1990, № 10

рованной Фл в переходе $NF(b^1\Sigma-X^3\Sigma^-)$ при Фт NF_2 излучением 249 нм. Оно не обнаружено в р-ции $H+NF_2$. Показано, что доля $NF(a)$ в полном выходе NF в р-ции $H+NF_2$ превышает $0,90 \pm 0,03$. Квантовый выход $NF(a)$ при Фт NH_2 излучением 249 нм по оценке не превышает $0,04 \pm 0,02$. Квантовый выход Фт NF_2 излучением 249 нм равен единице, согласно результатам титрования атомов F добавками HCl. Библ. 33.

В. Е. Скурат

MNF₂

1992

Cheng D.P.,

J. Chin. Chem. Soc. (Taipei)
1992, 39(5), 457-9.

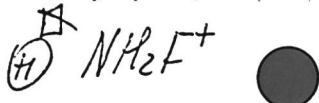
(9)

(all · OF₂;  III)

NF_2H^+

1993

118: 220137v The fluorimide and fluoramide radical ions(1+) (NF_2H^{+} and NH_2F^{+}): conventional structures or ion-molecule complexes? A GAUSSIAN-1 study. Grandinetti, Felice; Hrusak, Jan; Schwarz, Helmut. (Istituto Chimica Nucleare CNR, 00016 Rome, Italy). *Chem. Phys. Lett.* 1993, 204(1-2), 53-8 (Eng). The structures and stabilities of the F_2NH^{+} (1), $FNFH^{+}$ (2), H_2NF^{+} (3), and $HNFH^{+}$ (4) radical cations were studied at the GAUSSIAN-1 level of theory. Whereas the conventional structure 3 is largely favored with respect to the ion/dipole complex 4 ($\Delta E = 42.6$ kcal/mol⁻¹), the isomers 1 and 2 were calcd. to be of comparable stability. The interconversion process of the latter species is also discussed. The obtained results actually confirmed previous conclusions concerning the factors that control the structures and stability order of the $[NF_3H]^{+}$ isomers, as obtained from the gas-phase protonation of nitrogen fluoride.



C.A.-1993, 118, N22